

05.4

© 1990

ПОТЕРЯ СВЕРХПРОВОДИМОСТИ КРИСТАЛЛАМИ  
 $La_{2-x}Sr_xCuO_{4-y}$

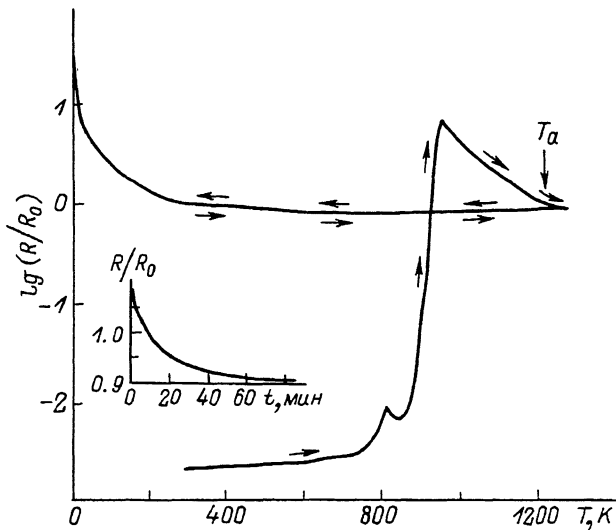
В.П. Н а б е р е ж н ы х, В.И. Г к а ч,  
 В.М. С в и с т у н о в, О.М. Б е л о ш о в,  
 А.И. Л и м а н о в с к и й, И.А. Г а й н а,  
 В.Ю. К а м е н е в а

Известно, что сверхпроводящие свойства оксидов металлов существенно зависят от способа приготовления образцов, в частности от режима высокотемпературного отжига. Одним из перспективных методов синтеза оксидов представляется окисление металлической ленты, полученной быстрой закалкой расплава металлов соответствующего состава. Таким способом получены сверхпроводящие образцы оксидов  $Yb_2Ba_2Cu_3O_{6.8}$  [1, 2] и  $La_{1.8}Sr_{0.2}CuO_{4-y}$  [3]. При этом последний, по данным авторов, имел тетрагональную структуру ( $a = 3.78 \text{ \AA}$ ,  $c = 13.25 \text{ \AA}$ ) и довольно широкий температурный интервал (36–9 К) СП-перехода. Нами были проведены аналогичные эксперименты с металлической основой  $La_{2-x}Sr_xCu$ , однако сверхпроводящие свойства наши образцы не обнаруживали вплоть до  $T = 4.2 \text{ K}$ .

Сплав приготавлялся из химически чистых  $La$ ,  $Sr$  и  $Cu$  в две стадии. Вначале сплавлялись в вакууме  $La$  и  $Cu$ , затем добавлялся  $Sr$ , и плавка осуществлялась под избыточным давлением  $Ar$ , что предотвращало потери стронция. Быстроохлажденные ленты толщиной 35–70 мкм, шириной 2–3 мм и длиной до 400 мм получали путем подачи расплава из кварцевого сопла на внешнюю поверхность врашающегося стального или бронзового диска. Температура расплава варьировалась в интервале 750–900 °C. Свежеприготовленные ленты были светло-серого цвета с чисто металлическим блеском и выдерживали без разрушения загиб вокруг провода диаметром 2 мм. Однако с течением времени ленты темнели и охрупчивались. Рентгенографическое исследование этих лент показало, что они в основном являются аморфными, хотя на фоне гало было заметны дифракционные линии, соответствующие  $\alpha$ - $La$  и фазе  $LaCu$ .

ДТА ленточных образцов показал, что при температурах 398 и 473 К имеют место острые экзотермические пики, которые связаны с кристаллизацией аморфной матрицы. В области температур 770–820 К появляется широкий экзотермический максимум (иногда расщепленный), отражающий процесс окисления и образование металлооксидной фазы.

Для контроля состояния образцов в процессе термообработки и последующего тестирования на сверхпроводимость измерялось электросопротивление четырехзондовым методом. Электрические контакты



Изменение относительного сопротивления аморфной металлической ленты с размерами  $10 \times 2 \times 4 \cdot 10^{-2} \text{ мм}^3$  состава  $\text{La}_{1.35}\text{Sr}_{0.15}\text{Cu}$  в процессе окислительного нагрева и последующего охлаждения до  $T=4.2 \text{ К}$ . Скорость нагрева и охлаждения в диапазоне  $T=300-1223 \text{ К}$  составляла  $T=10 \text{ К/мин}$ . На вставке показана временная зависимость сопротивления при изотермическом отжиге при  $T_a=1200 \text{ К}$  (указано стрелкой).  $R_0 \approx 97 \text{ Ом}$  – сопротивление окисленного образца при  $T=300 \text{ К}$ .

создавались путем приваривания к аморфной ленте точечной сваркой платиновых проводов толщиной 0.1 мм.

На рисунке показано поведение сопротивления (в логарифмическом масштабе) образца с содержанием  $\text{Sr}(x=0.2)$  при нагреве от комнатной температуры до  $T=1223 \text{ К}$  и последующем охлаждении со скоростью  $T=10 \text{ К/мин}$ . Как видно, окисление приводит к значительному росту сопротивления, которое увеличивается в максимуме примерно в  $4.4 \cdot 10^3$  раз по сравнению с исходным металлическим состоянием. Дальнейший нагрев вызывает уменьшение сопротивления, и его изменения приобретают обратимый характер. При охлаждении образца до  $T \approx 800 \text{ К}$  наблюдается некоторое понижение сопротивления, а затем рост  $R$  вплоть до  $T=4.2 \text{ К}$ , демонстрируя полупроводниковый характер проводимости и отсутствие сверхпроводящего перехода. Последующие циклы нагрева и охлаждения показывают обратимый характер температурной зависимости сопротивления.

Активационный характер изменения сопротивления после достижения максимума демонстрируется изотермическим отжигом, результат которого (при  $T_a=1200 \text{ К}$ ) приведен на вставке. Сопротивление экс-

поненциально с характерным временем  $\tau \approx 30$  мин стремится к равновесному значению.

Аналогичное поведение сопротивления имеет место также и в сплавах с  $x=0.1$  и  $0.15$ . Однако при уменьшении концентрации стронция несколько увеличивается равновесное значение сопротивления при высокой температуре, снижается температура начала роста сопротивления при непрерывном нагреве и увеличивается температурный коэффициент сопротивления. Так, в исследованном сплаве с  $x=0.1$  наблюдается падение электросопротивления вплоть до комнатной температуры, при этом значения удельного сопротивления для температур  $1200$  и  $300$  К равны  $0.186$  и  $0.118$  Ом·см соответственно. Эти значения оказываются на два порядка больше, чем приведенные в работе [4] для керамики с  $x=0.175$ , синтезированной традиционным способом ( $\rho(300)=0.534 \cdot 10^{-3}$  Ом·см;  $\rho(1100)=1.98 \cdot 10^{-3}$  Ом·см), а температурный коэффициент сопротивления – примерно в  $2.5$  раза ниже. Тестирование образцов на СП проводилось не только резистивным методом, но и индукционным с помощью автодинного генератора на частотах несколько МГц. При чувствительности порядка  $m_o=10^{-4}$  г (сигнал/шум 1), определенной по иттриевой СП керамике, на наших образцах массой  $m=3 \cdot 10^{-3}$  г СП-переход не регистрировался вплоть до  $T=4.2$  К.

Известно [5], что сверхпроводящая лантановая керамика при комнатной температуре имеет тетрагональную структуру. Однако детальное рентгеноструктурное исследование монокристаллов с содержанием стронция  $x=0.24$ , полученных в условиях, близких к равновесным [6], показало, что они имеют ромбическую симметрию с  $a=5.363$  Å,  $b=5.338$  Å и  $c=13.167$  Å, а микродвойникование имитирует псевдотетрагональную симметрию образца. Нами были рассчитаны теоретические дифрактограммы поликристаллических образцов с ромбической и тетрагональной ( $a=3.772$  Å,  $c=13.232$  Å) решетками, координаты атомов которых приведены в работах [6] и [5] соответственно.

Сравнение этих данных между собой, а также с дифрактограммами обычной сверхпроводящей керамики и исследованных ленточных образцов показывает, что различия обнаруживаются только в некоторых тонких деталях, связанных с интенсивностью и расщеплением некоторых максимумов. Тем не менее дифрактограммы СП-керамики лучше совпадают с расчетными для тетрагональной симметрии, а наших образцов – для ромбической, с учетом текстуры, усиливающей линии с индексами  $(002)$ . Отсутствие на дифрактограммах окисленных образцов неидентифицированных рефлексов свидетельствует (в пределах точности метода) об однофазном характере образующейся структуры.

В работе [6] был сделан вывод, что в равновесных условиях в ромбической решетке происходит упорядочение атомов  $Sr$ , замещающих  $La$ . Это обстоятельство из-за разной валентности атомов  $La$  и  $Sr$  должно приводить к потере части кислородных атомов и в равновесном состоянии дефицит кислорода должен составлять

$y = z/2$ . В свою очередь, потеря кислорода может снижать  $T_c$  или приводить к полной потере СП.

Таким образом, данные структурных исследований указывают на то, что в процессе окисления быстроохлажденной металлической пленки  $La_{2-x}Sr_xCu$  при непрерывном нагреве образуется металлооксид с ромбической структурой, а обратимый характер изменений электросопротивления при высоких температурах (см. рисунок) свидетельствует о ее равновесности. С учетом результатов, полученных в работе [6], это обстоятельство может служить причиной отсутствия в исследованных образцах СП-перехода до 4.2 К.

Авторы благодарят профессора Б.Я. Сухаревского за обсуждение результатов.

#### Список литературы

- [1] Matsuzaki K., Inoue A., Kimura H., Aoki K., Masumoto T. // Jap. J. Appl. Phys. 1987. V. 26. N 8. P. L 1310-1312.
- [2] Kogure T., Kontra K. Vander Sande J.B. // Physica C. 1988. V. 156. N 1. P. 35-44.
- [3] Matsuzaki K., Inoue A., Kimura H., Moroishi K., Masumoto T. // Jap. J. Appl. Phys. 1987. V. 26. N 4. P. 334-336.
- [4] Gurvitch M., Flory A.T. // Phys. Rev. Letters. 1987. V. 59. N 12. P. 1337-1340.
- [5] Воронин В.И., Бергер И.Ф., Гощинский Б.Н. Тез. докл. 1 Всес. сов. по высокотемпературной сверхпроводимости. Харьков, ФТИНТ. 1988. Т. 2. С. 111-112.
- [6] Симонов В.И., Мурадян Л.А., Тамазян Р.А., Мельников О.К., Быков А.Б., Вайнштейн Б.К. // Письма в ЖЭТФ. 1988. Т. 48. В. 5. С. 290-292.

Донецкий физико-технический  
институт АН УССР

Поступило в Редакцию  
4 мая 1989 г.

В окончательной ре-  
дакции 1 ноября 1989 г.